

金沢・高橋川における乱流測定

金沢工業大學 正員 中川武夫
 金沢工業大學 学生夏○小澤誠
 金沢工業大學 正員 今井悟
 金沢工業大學 宇谷彰訓
 金沢工業大學 学生夏 桃井康義

1. 緒言

1,2)

張糸式流速計の出現によつて、在来の熱線流速計、超音波流速計等の電磁流速計を用いた場合と比較して流れの三次元測定はさうかに容易に行なうことが可能となつた。張糸式流速計はこれまでのところ主として実験室で用ひられたことが可能であることは設計当初から十分に認識されてゐた。実験用排水路中の乱流測定例として熱線式(音叉式熱膜式)流速計によるものがいくつか報告されてゐる。³⁾しかしむかし、二点の測定例の大半は主流及び水深方向の乱流速度成分の測定に限られてゐる。一方、東河川水系の乱流測定例は著者らの知る限りではほとんど報告されてゐないが、その乱流特性は未だ明確ではない。

本研究において、東河川水系の乱流特性を明らかにするために、張糸式流速計を用いて流れの三方に向成分の同時測定を行なつた。本論文では高橋川における二点の測定結果を一部を報告する。

2. 実験

本実験は金沢工業大學ライブドリー・センター槽を用いた高橋川の中における行なわれた。Fig.1 は二点用の座標系統が高橋川測定部の水路境界条件を示した。二点測定断面の河幅は 17.3 m である。二点断面の上、下流側、各 100 m 程度にわたつて河床は直徑 5-20 cm 程度の丸石によつて敷き詰められたより左岸側である。図示したように、左岸は土堤防の表面に雑草が生い繁り、右岸はコンクリート堤防である。

座標原点は左岸から 9.5 m の位置にあつた河床面上の点である。x, y, z 座標の正方向は右岸方面、流れ下方向、左岸方面、垂直上方である。流速測定は z 軸上 $z = 1.65 - 9.65 \text{ cm}$ の範囲内における。1.0 cm 間隔で合計 9 点における行なわれた。張糸式流速計の各測定点は所定の高さに設置されたより支持棒を介して四脚台に固定された。各測定点におけるは 2.5 秒間の時系列データが各速度成分ごとに独立に記録された。二点用アナログデータはサンプリング周波数 500 Hz で、それをデジタル化された後、データ処理が行なわれた。一方で、各測定点各速度成分ごとに独立して平均速度、乱れの強度、レインノルズ数及びエネルギー、スペクトルが求められた。

Table 1 には本実験の主要水理パラメータの値を示した。二点、U は合計 9 ケーブル測定点における x 方向平均速度 U の平均値である。また、以下の実験結果を提示にあたつては乱れの強度がレインノルズ数の無次元化のための日本標準 U が用いられた。

3. 結果

本章では、乱れの強さと、
川底応力による解析結果を別々に
述べ、平均速度と川岸距離、入
入法による解析結果についても割り
出す。

(a) 亂れの強さ： Fig.2 は x, y, z 方
向の各乱れ強さ（すなわち、速度変
動の二乗平均平方根を各測定点において
計った x 方向平均速度 U が無次元化された道）の水深方向
への分布を示した。また、二の図には既存データと
比較べるため x, z 両方向の速度変動の二乗平均
平方根を U が無次元化された道同時に示した。各
乱れの強さは河床近くで大きく、

$z/d = 0.2$ 附近で急減し、以後は水表面近くで U と比例
的であるが増減をくりかえすことが判明した。二つの強度
成分とも、乱れの強さの水深に対する依存性は $x, y,$
 z の各成分とも異なったが、二和三成分が同様
な依存性を示すことが判明した。また、各水深における
各成分の強さは互いに同じ強度のオーダーであった。
すなわち、二和三の間は一定の大小関係は認められなかつた。

(b) レイノルズ応力： Fig.3 は各レイノルズ応力の水深
方向への分布を示した。二の図から、各レイノルズ応力
が河床附近で大きく、河床から離れたところでは増減を
くりかえすことが判明した。すなわち、二和三種類のレイノ
ルズ応力の水深に対する依存性は各測定点で統一して
いたが、河床附近では同様な依存性を示す。また、各水深に
おける二和三種類のレイノルズ応力の絶対値は河床附近
で最大となり、二和三の間は一定の大小関係は認められなかつた。

参考文献

- 1) Nakagawa, T. 1983 On characteristics of the water-particle velocity in a plunging breaker, J. Fluid Mech. 126, 251-268.
- 2) Nakagawa, T. 1983 A new instrument to measure three velocity components of water particles in breaking waves, J. Physics E: Sci. Inst., 16, 162-165.
- 3) McQuivey, R.S. & Richardson, E.V. 1969 Some turbulence measurements in open-channel flow, Proc. of ASCE, J. of Hydraulic Division, 94, 411-430.

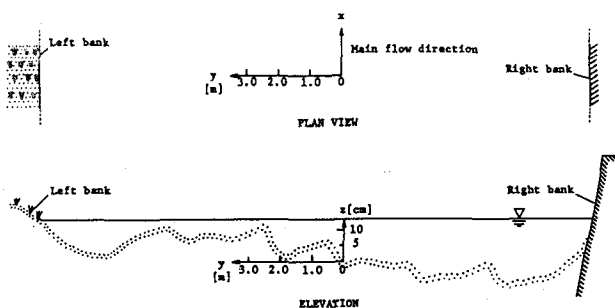


Fig.1 Definition sketch of co-ordinate system and boundary conditions of the Takahashi river

Table 1 Hydraulic parameters

Mean velocity \bar{U} [cm/s]	72.9
Water depth d [cm]	13.5
Water temperature T [degree]	12.5
Kinematic viscosity v [cm ² /s]	1.22×10^{-2}
Reynolds No. $Re = \bar{U}d/v$	8.06×10^4
Froude No. $Fr = \bar{U}/\sqrt{gd}$	0.63

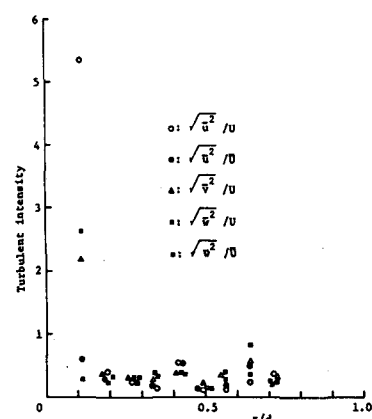


Fig. 2 Turbulent intensity vs. normalized vertical co-ordinate z/d

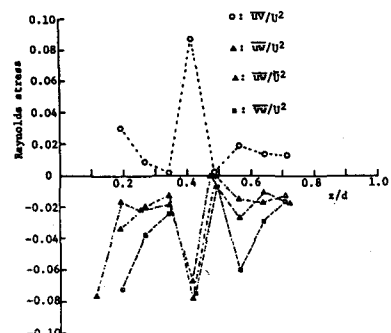


Fig. 3 Reynolds stress vs. normalized vertical co-ordinate z/d